

1/15

Bukofsky et al. TML
F1S920020113US1

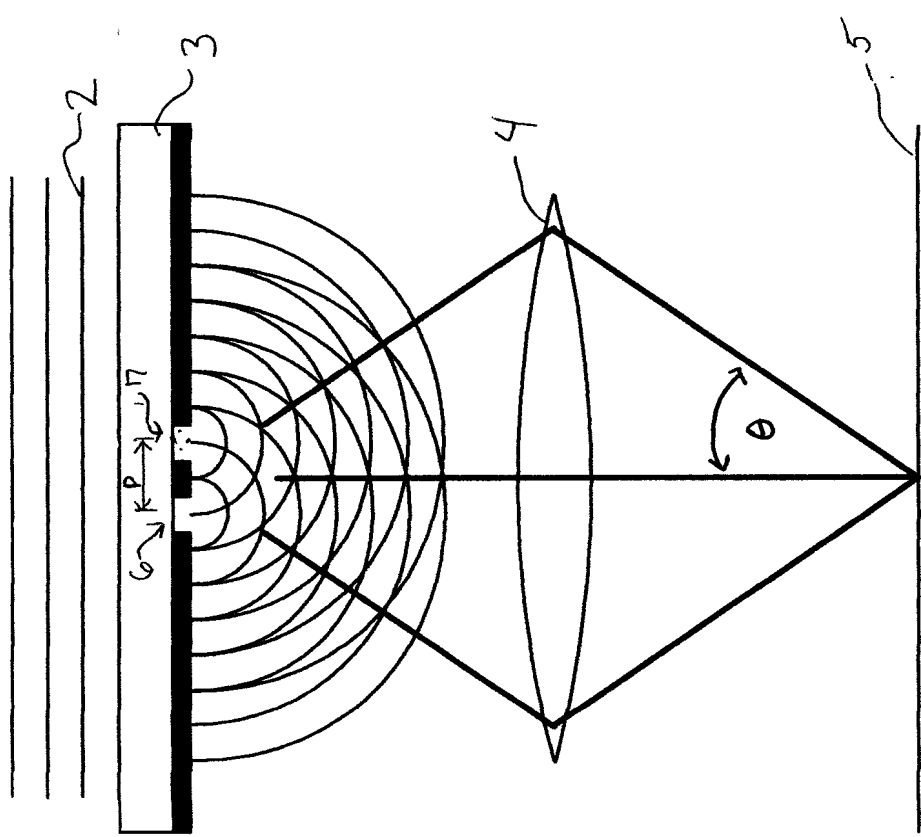


Fig. 1A

2/15
Bukofsky et al. TML
F15920020113US1

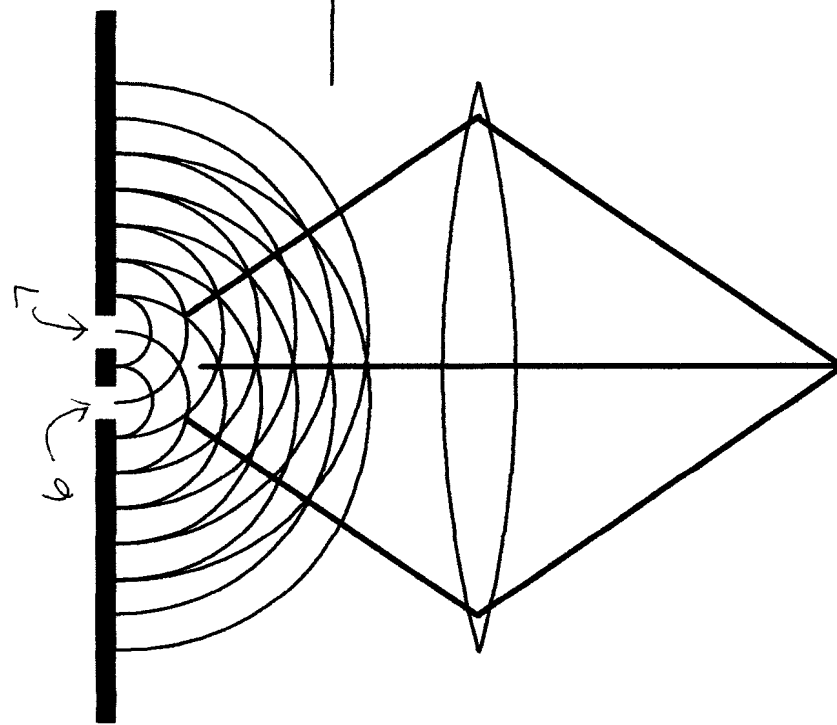
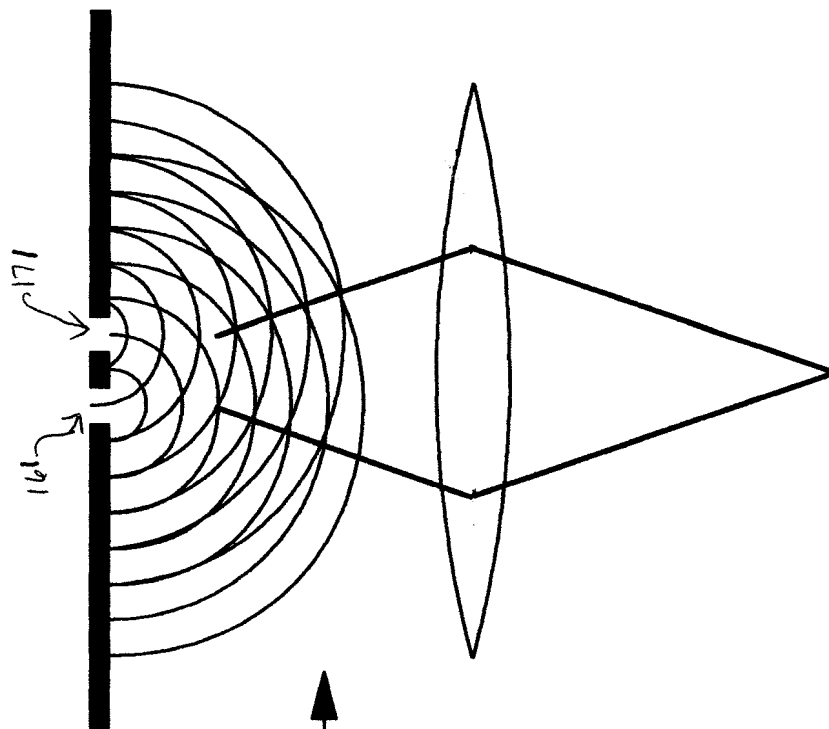


FIG. 1B

3/15
Bukofsky et al. TML
FIS9 2002 0113 US1

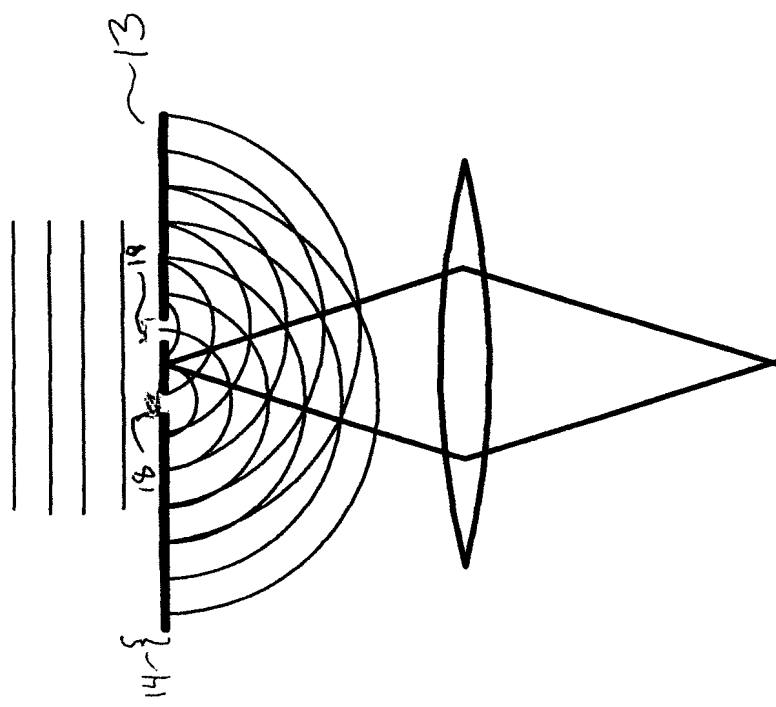


Fig. 1C

4/15
Bukofsky, et al. TML
F1S920020113US1

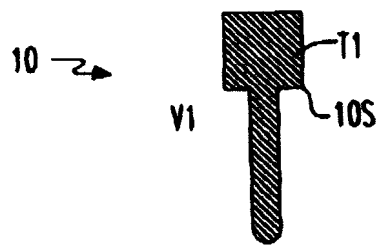


FIG. 1A

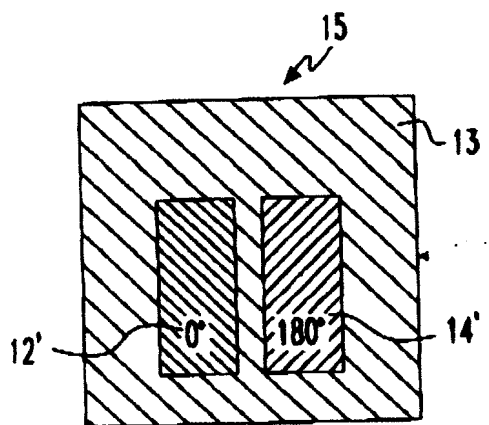


FIG. 1B

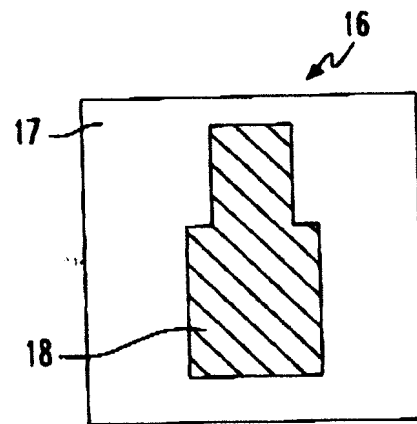


FIG. 2D

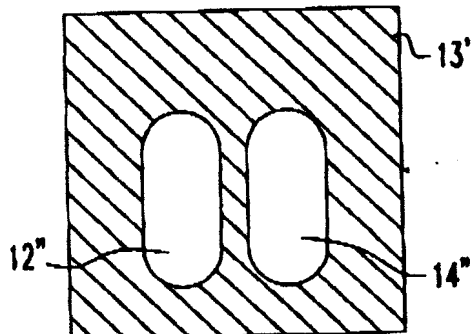


FIG. 1C

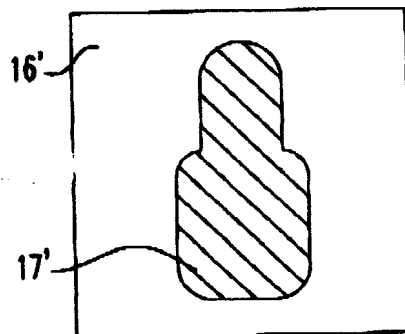


FIG. 1E

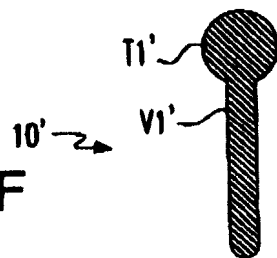


FIG. 1F

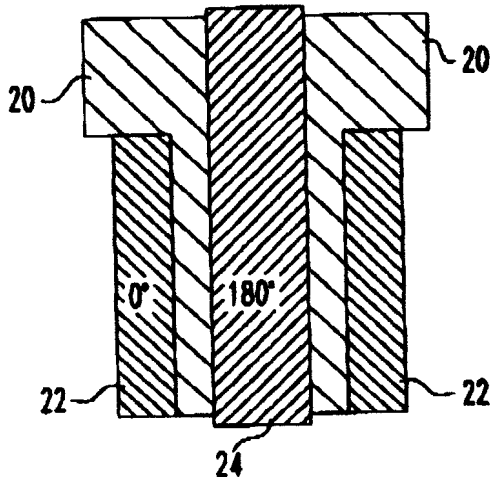
5/15
FIS920020113US1

FIG. 3A

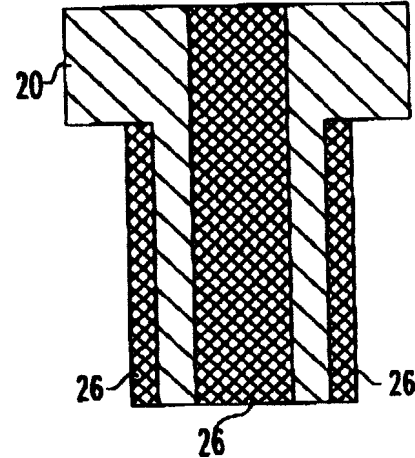


FIG. 3B

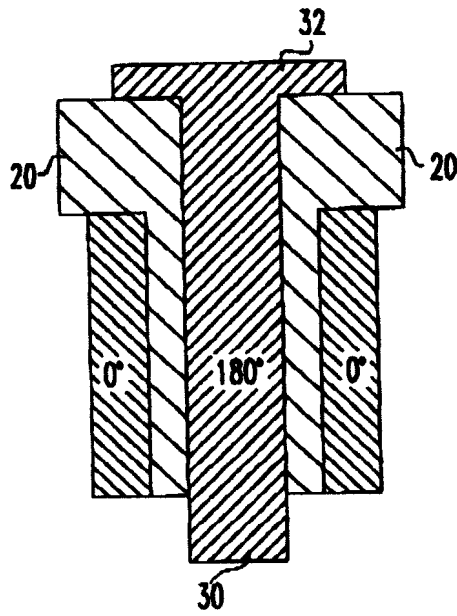


FIG. 3C

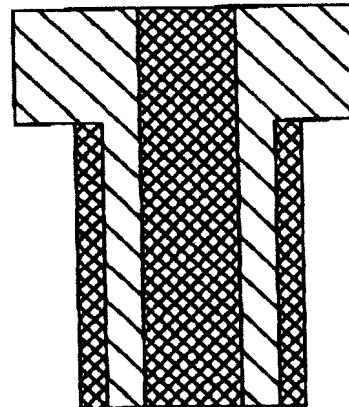


FIG. 3D

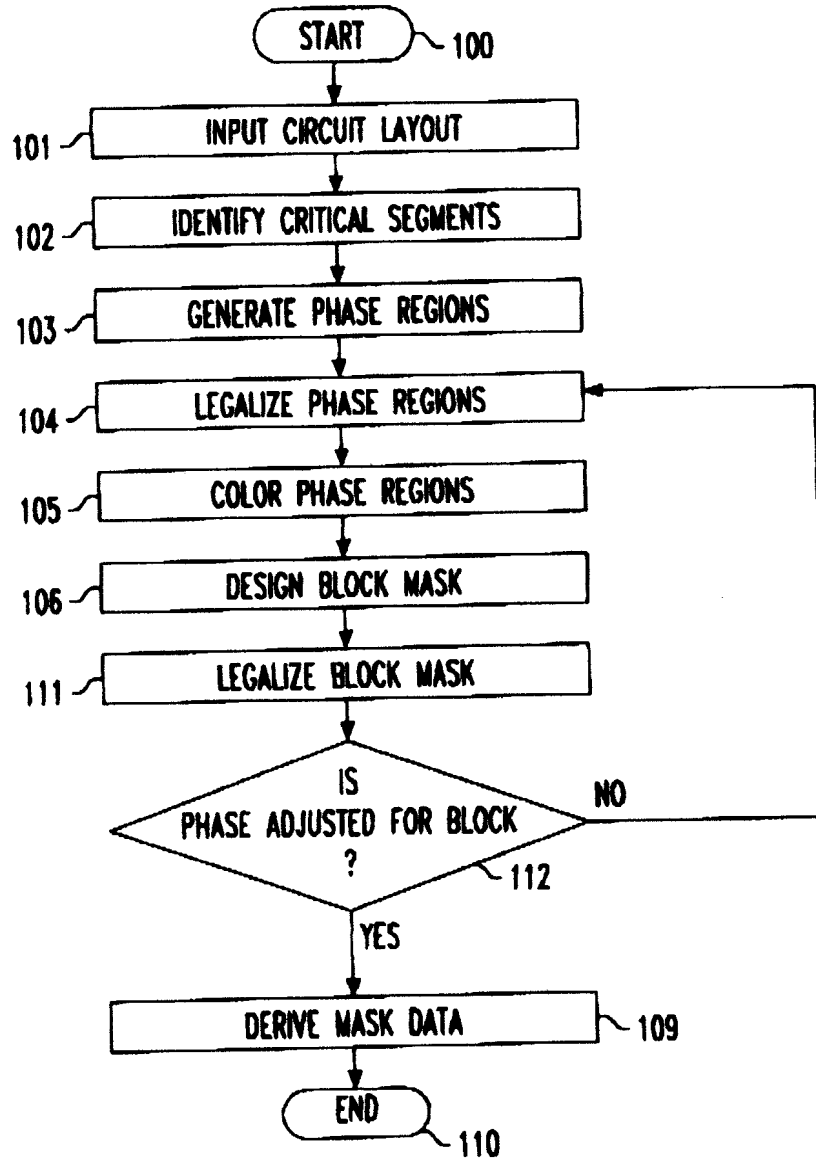
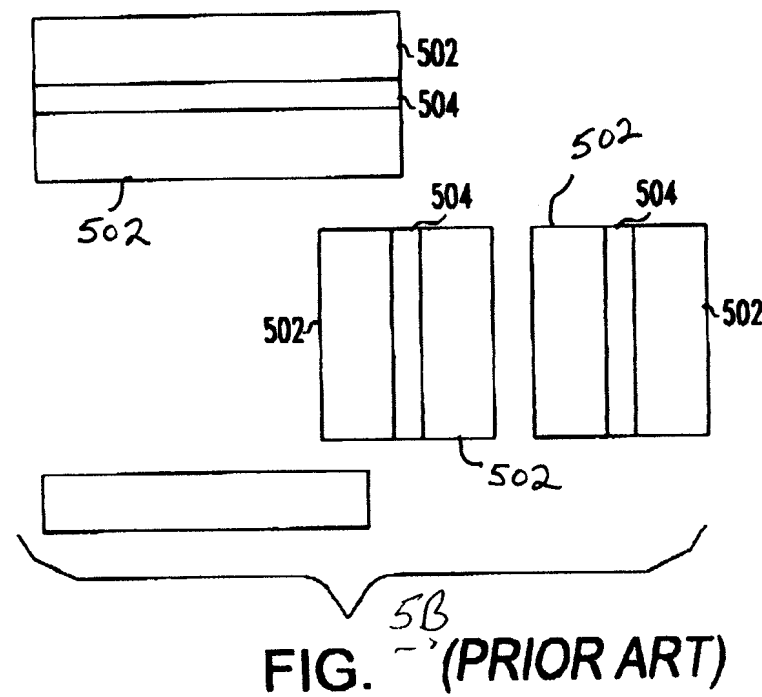
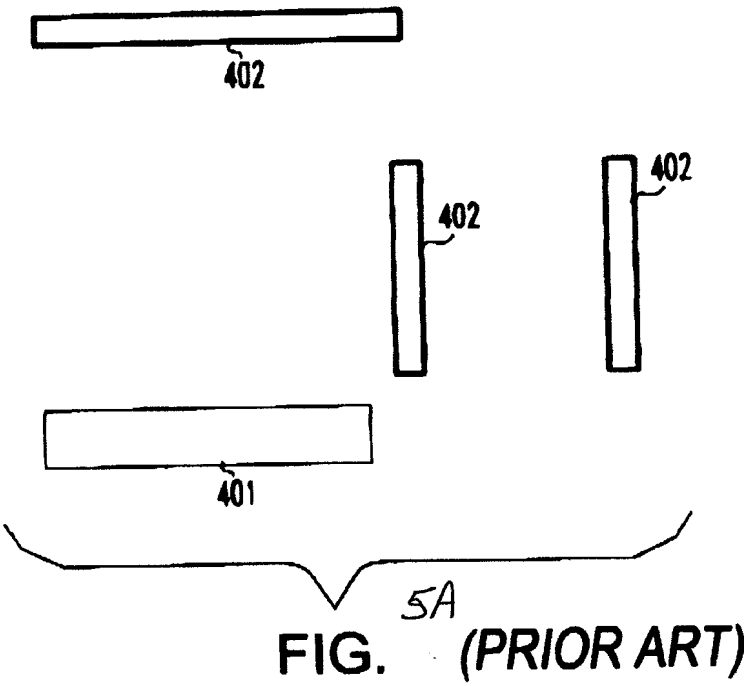
6/15
FIS920020113US1

FIG. 4 (PRIOR ART)

7/15
FIS92002011JUS1

8/15
F1S920020113US1

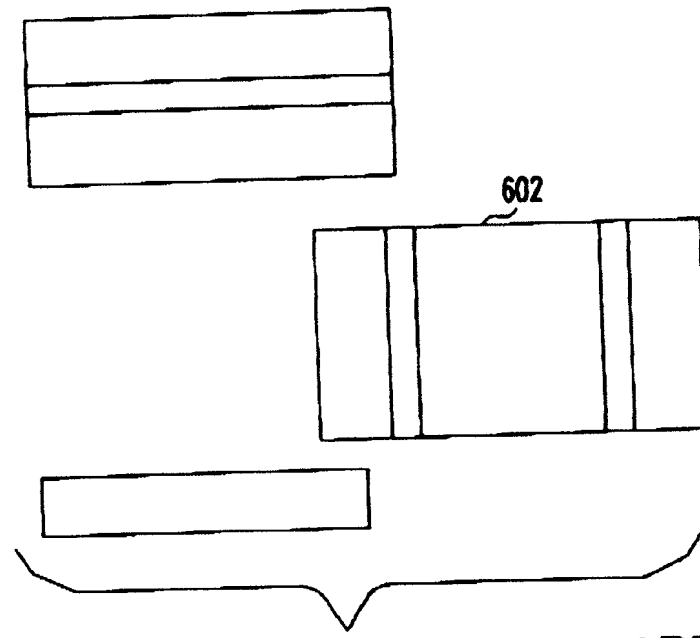


FIG. 6 (PRIOR ART)

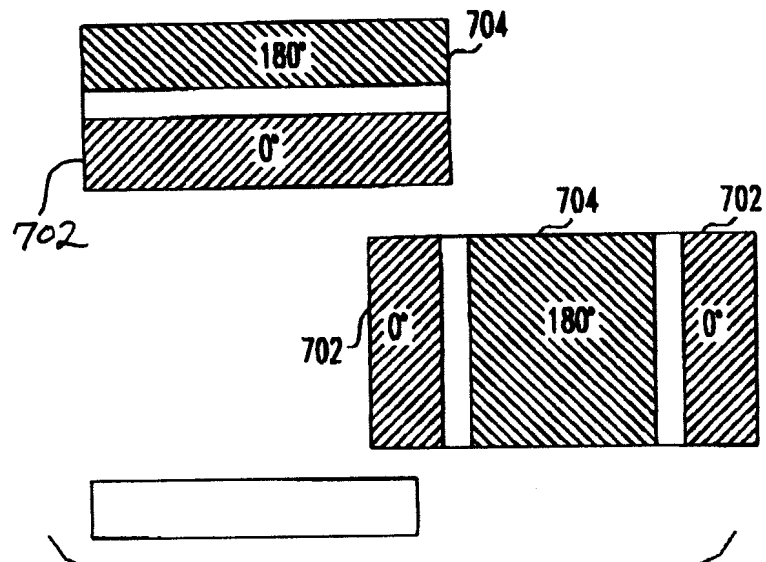


FIG. 7 (PRIOR ART)

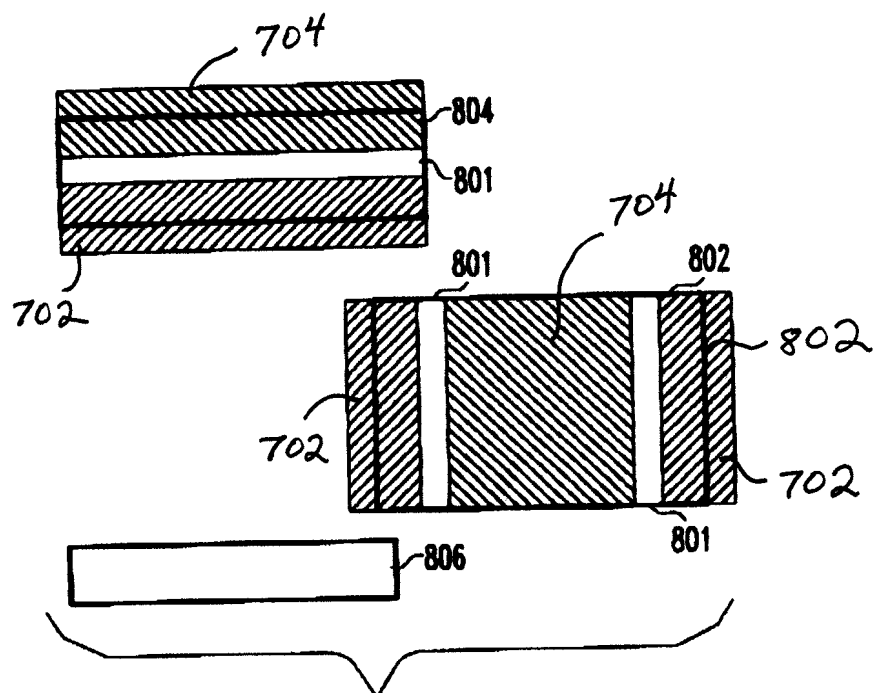
9/15
F1S920020113US1

FIG. 8 (PRIOR ART)

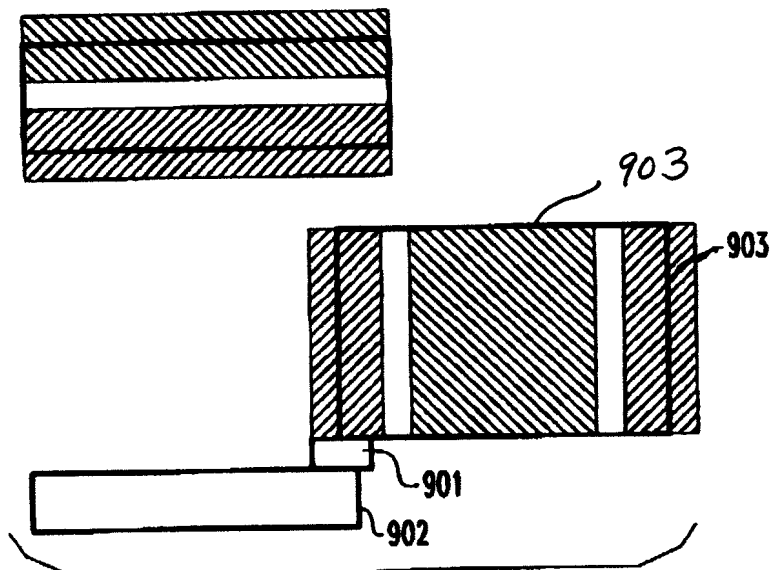


FIG. 9 (PRIOR ART)

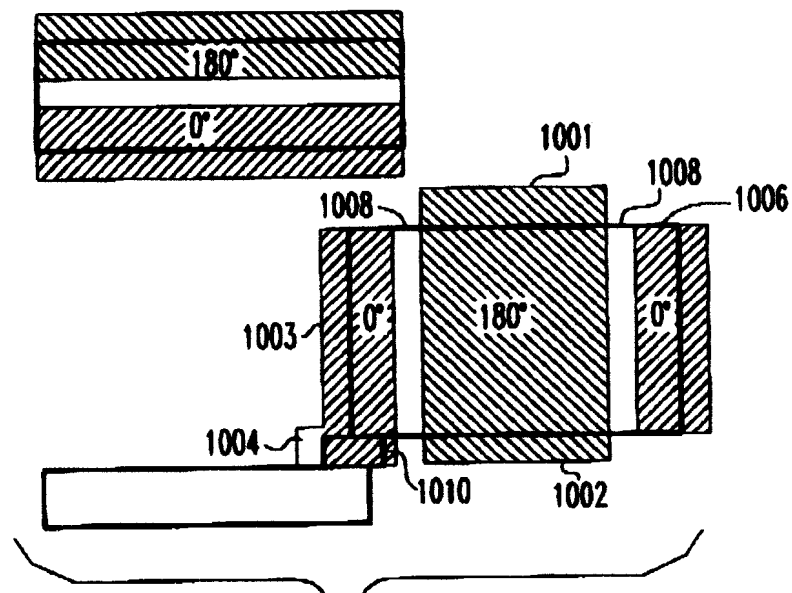
1,021,5
F15920020113US1

FIG. 10 (PRIOR ART)

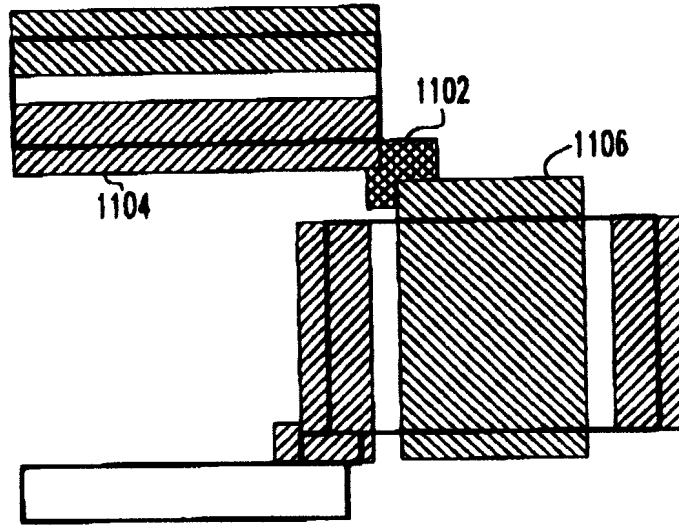


FIG. 11 (PRIOR ART)

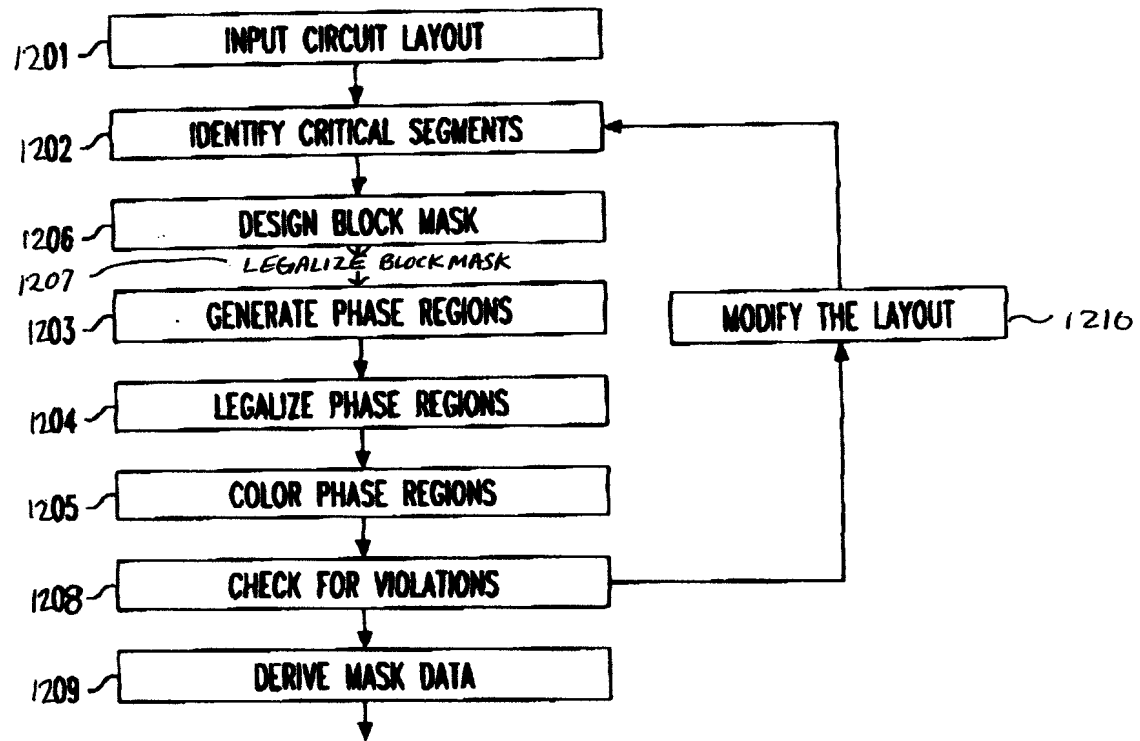
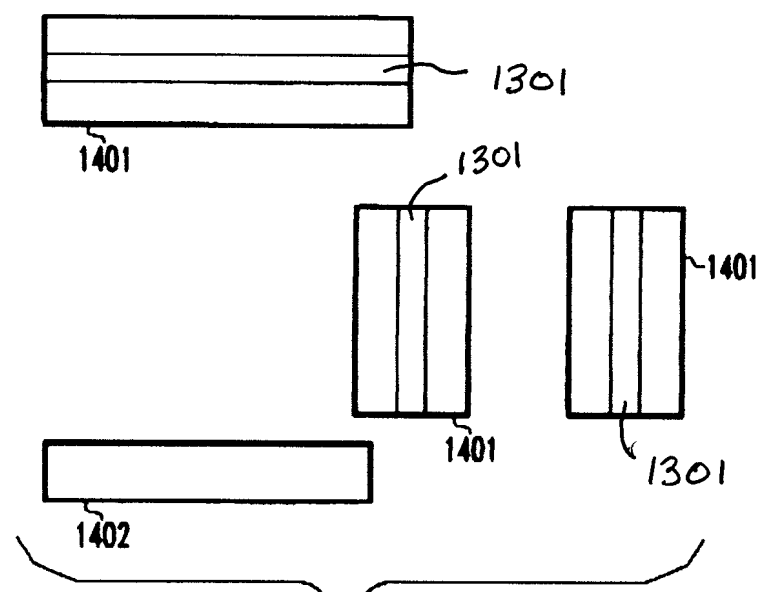
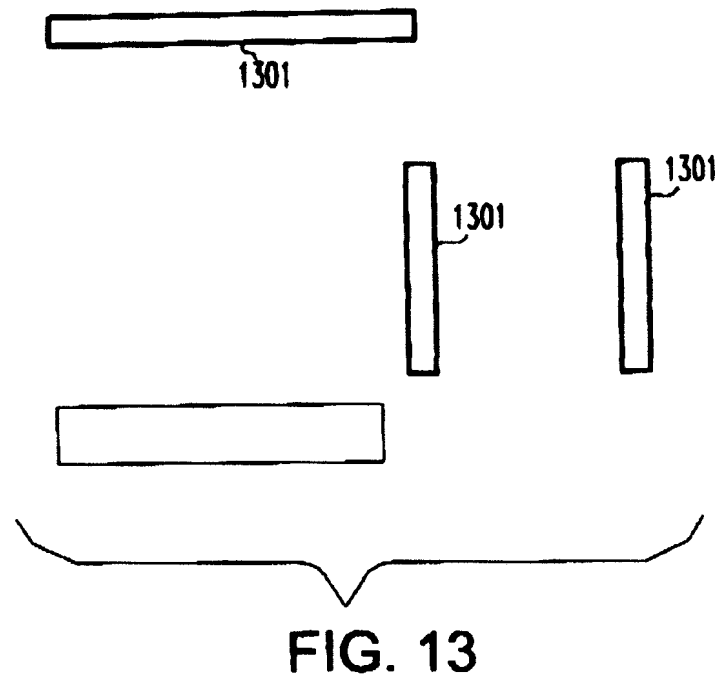
11/15
FIS920020113US1

FIG. 12

12/15
F1S920020113US1

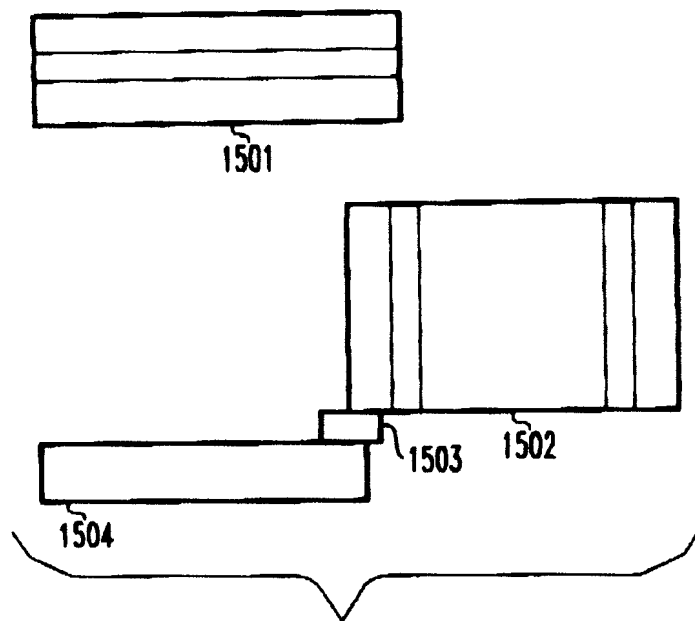
13/15
F1S920020113US1

FIG. 15

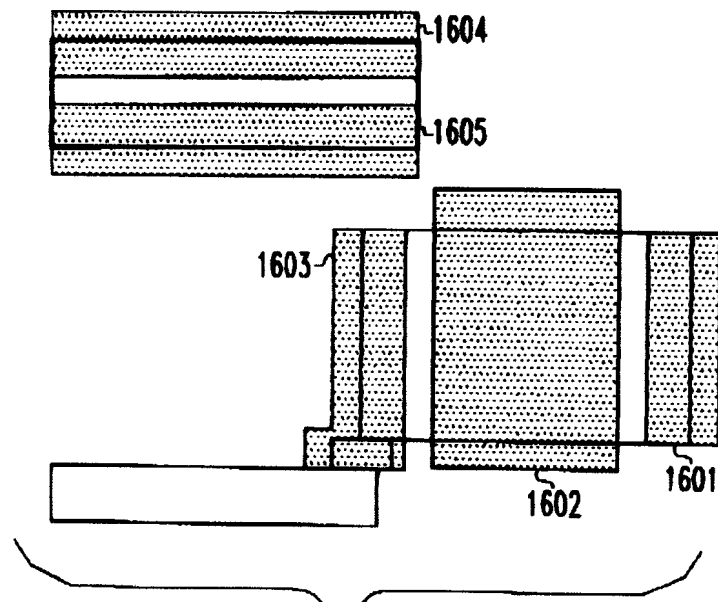


FIG. 16

14/15
FIS920020113US1

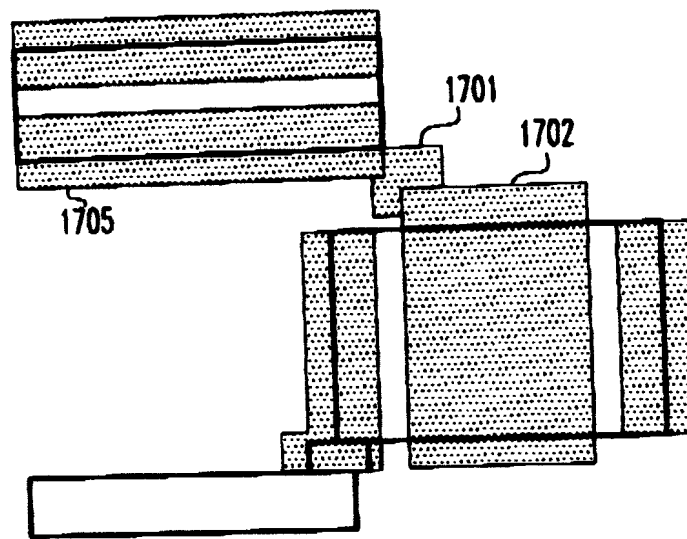


FIG. 17

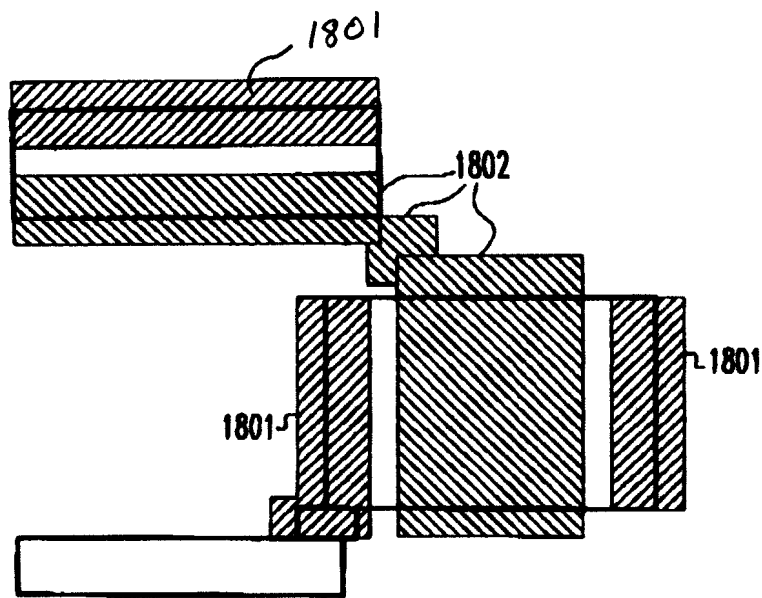


FIG. 18

15/15
F1S920020113US1